

بررسی رفتار انبساط حرارتی پوشش‌های سد حرارتی زیرکونیای پایدار شده با ایتریا و سریا

احمد کیوانی^{*}، میلاد بهامیریان

گروه مهندسی متالورژی و مواد، دانشکده فنی و مهندسی، دانشگاه شهرکرد

^{*}Keyvani@eng.sku.ac.ir

چکیده:

در این پژوهش پوشش‌های زیرکونیای پایدار شده با ایتریا (YSZ) و سریا (CSZ) با هدف ارتقای خواص ترمومکانیکی پوشش‌های سد حرارتی بر پایه زیرکونیای پایدار شده با ایتریا از طریق جایگزینی YSZ با CSZ، به روش پاشش پلاسمای اتمسفری (APS) برروی نمونه‌هایی از جنس سوپرآلیاژ پایه نیکل (IN738LC) اعمال شدند. رفتار انبساط حرارتی سوپرآلیاژ IN738LC، YSZ، NiCrAlY و CSZ مورد ارزیابی قرار گرفت. برای تعیین مشخصه‌های ساختاری و فازی پوشش‌ها از میکروسکوپ الکترونی روبشی (SEM) و آنالیز پراش پرتو ایکس (XRD) استفاده شد. نتایج به دست آمده نشان داد که پوشش CSZ دارای ضربی انبساط حرارتی بالاتری نسبت به پوشش YSZ است. همچنین بررسی‌های ریزساختاری پوشش‌ها نشان داد که پوشش CSZ با ساختاری لا یدی و متخلخل تشکیل شده، ولی متخلخل‌های آن نسبت به پوشش YSZ کوچک‌تر و یکنواخت‌تر است.

اطلاعات مقاله:

دربافت: ۱۳۹۵/۵/۱۰

پذیرش: ۱۳۹۵/۹/۲۰

کلید واژه:

CSZ، YSZ، NiCrAlY
انبساط حرارتی، پوشش سد حرارتی

۱- مقدمه

توربین‌های گازی تولید الکتریسیته و یا توربین هوایپما و همچنین اجزای محفظه‌های احتراق است [۲]. از مواد قابل استفاده در TBC‌ها می‌توان زیرکونیا (ZrO_2) را نام برد که به طور گسترده مورد مطالعه قرار گرفته است و به عنوان ماده مورد استفاده در TBC‌ها بکار گرفته می‌شود زیرا کارآئی خوبی را از خود در کاربردهای دما بالا ماند و موتورهای دیزلی و توربین‌های گازی نشان می‌دهد و گزارش‌های زیادی از استفاده آن در موارد فوق در دسترس است. زیرکونیای خالص دارای دو استحالت فازی است و باید

پوشش‌های سد حرارتی^۱، لایه‌های نازک سرامیکی هستند که وظیفه اصلی این پوشش‌ها کاهش حرارت زیرلایه فلزی (جلوگیری از افزایش دمای زیرلایه فلزی)، در برابر درجه حرارت‌های بالا است [۱]. بعضی از کاربردهای این نوع پوشش‌ها برروی سوپرآلیاژها (IN-738) مانند پره

^۱ Thermal Barrier Coatings (TBCs)



افزودن CeO_2 به ترکیب پوشش YSZ در بهبود عمر سیکل حرارتی مؤثر باشد. با افزودن اکسید سریم به YSZ می‌توان قابلیت پذیرش شوک حرارتی پوشش-زیرالایه را افزایش داد. پوشش‌های دوب شده با سریا دارای مقاومت به شوک حرارتی بهتری هستند زیرا در پوشش‌های $\text{YSZ} + \text{CeO}_2$ استحاله فازی منوکلینیک به تراگونال کمتر رخ می‌دهد [۴-۷]. در زمینه بهبود ترکیب شیمیایی نیز ملاحظه شده، پوشش اخیر از نظر پایداری در دمای بالا، مقاومت به تنش‌های مکانیکی و از نظر خواص عایق حرارتی در شرایط بهتری نسبت به پوشش YSZ قرار دارد [۸]. هدف از انجام پژوهش حاضر، بررسی تغییر ترکیب و استفاده از CSZ به جای YSZ به منظور بهبود خواص ترمومکانیکی پوشش‌های TBC است.

۲- فعالیت‌های تجربی

سوپرآلیاژ اینکومنل ۷۳۸ (IN738LC) به صورت دیسکی شکل به قطر ۲۵ mm و با ضخامت ۱۰ mm به عنوان زیرالایه برای اعمال پوشش‌های سد حرارتی به روش پلاسما اسپری و جهت بررسی ریزساختاری و فازی انتخاب شد که آنالیز شیمیایی آن در جدول ۱ ارائه شده است. برای تهیه نمونه‌های فلزی، پوشش واسطه فلزی و پوشش سرامیکی به منظور آزمایش انبساط حرارتی ابتدا از آلیاژ اینکومنل ۷۳۸ با استفاده از دستگاه برش دقیق، نمونه‌هایی به شکل ورق به ابعاد $5.0 \times 4.0 \times 2\text{ mm}^3$ تهیه شده و مورد استفاده قرار گرفت. همچنین جهت بررسی رفتار انبساط حرارتی پوشش‌های مذکور، زمینه‌ای از جنس آلومینیم خالص تجاری به شکل ورق به ابعاد $10.0 \times 6.0 \times 1.0\text{ mm}^3$ تهیه شده و مورد استفاده قرار گرفت. قبل

به آن توجه نمود استحاله تراگونال به منوکلینیک در اثر سرد کردن با تغییرات حجمی ۳-۵ درصد همراه بوده که توأم با تخریب است. با اضافه کردن ترکیباتی نظری CaO در تمام درجه حرارت‌ها پایدار بوده و هیچ گونه تغییر فاز روی نمی‌دهد و به زیرکونیای پایدار شده معروف است [۳ و ۴]. تاکنون ترکیبات متعددی به عنوان پوشش سد حرارتی مورد استفاده قرار گرفته‌اند. هدایت حرارتی پایین، ضریب انبساط حرارتی بالا و مقاومت به شوک حرارتی به عنوان بهترین خواص مورد نیاز برای پوشش‌های سد حرارتی مطرح هستند. به طور کلی عوامل مختلف از جمله ترکیب شیمیایی، ریزساختار، نوع فاز، چسبندگی به زیرالایه یا پوشش لایه‌میانی^۱ و تنش‌های پسماند برروی قابلیت‌های کاری پوشش‌های TBC اثر می‌گذارند. مکانیزم‌های تخریب این نوع پوشش‌ها را به دو گروه می‌توان دسته‌بندی کرد: (الف) مکانیزم داخلی^۲ که شامل تفجوشی پوشش سرامیکی، رشد لایه TGO^۳، خستگی، چروکیدگی‌های^۴ لایه میانی، تخلخل پوشش و تنش‌های پسماند است. (ب) مکانیزم خارجی^۵ دومین مکانیزم پیشنهادی است که از جمله مهم‌ترین آن‌ها فرسایش^۶، شکست‌های ناشی از شوک حرارتی، خوردگی داغ نمک‌های سولفات، وانادات و سیلیکات‌های مذاب، و همچنین اکسیداسیون و رشد لایه TGO هستند [۵]. اکسید سریم یا CeO_2 دارای ضریب انبساط حرارتی بالاتر و هدایت حرارتی کمتری نسبت به YSZ بوده و گمان می‌رود

¹ Bond Coat

² Intrinsic Mechanisms

³ Thermal Growth of the Oxide

⁴ Rumpling

⁵ Extrinsic Mechanisms

⁶ Erosion



gun از نوع Plasma-Technick A-3000 ساخت کشور سوئیس اعمال شدند. پس از پوشش دهی جهت تهیه نمونه های مجزای انبساط حرارتی از پوشش های مذکور ابتدا با استفاده از دستگاه برش دقیق، نمونه هایی به ابعاد تقریبی $50 \times 4 \times 4 \text{ mm}^3$ به همراه زمینه آلمینیومی برش خورده و جهت حذف آلمینیوم از پوشش ها، نمونه ها در دمای ۲۵-۳۵ درجه سانتی گراد به مدت ۱ ساعت در محلول سود NaOH قرار داده شدند. پس از طی این مدت آلمینیوم باقیمانده در محلول حل شده و پوشش های مجزایی تهیه شد. پس از این مرحله پوشش ها آب کشی و سپس خشک شدند. قابل توجه است که محلول سود پوشش های NiCrAlY و YSZ (ZrO₂-25%CeO₂-2.5%Y₂O₃) CSZ (8%Y₂O₃) و ZrO₂-YSZ تحت تأثیر قرار نمی دهد.

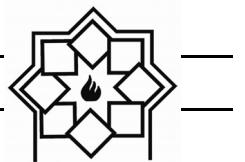
از پوشش دهی، تمامی نمونه ها (زیرلایه های آلمینیومی) تحت عملیات آماده سازی سطحی شامل چربی گیری، حذف آلودگی ها و همچنین زبرسازی سطح نمونه ها با استفاده از پاشش ذرات ساینده آلمینیا در دستگاه ذره پاشی قرار گرفتند. سپس پوشش دهی نمونه ها بر روی زمینه آلمینیومی جهت بررسی رفتار انبساط حرارتی انجام شد. از هر نوع پوشش ۳ نمونه مجزا با ترکیب مشخص اعمال شد. پودرهای مورد استفاده برای لایه میانی و بالایی به ترتیب پودرهای میکرونی Metco (NiCrAlY) Amdry 962، (CSZ) Metco 205NS و (YSZ) 204NS-G با کد تجاری ۹۶۲ میکرونی انتخاب شدند. خصوصیت های مورد استفاده برای اعمال هر پوشش در جدول ۲ آرائه شده است. پوشش های فوق به ضخامت حدود ۲ mm بر روی ورق آلمینیومی به روش پاشش پلاسمایی Sulzer-Metco F4 plasma (APS) و با استفاده از دستگاه (APS)

جدول ۱- مشخصات سوپرآلیاژ اینکونول (IN738LC)

ترکیب	Ni	Cr	Mo	Co	Al	C	B	Zr	Nb	Si
درصد وزنی	۷۴	۱۲/۵	۴/۲	۱	۰/۸	۰/۰۵	۰/۰۱۲	۰/۱	۱/۵	۰/۵

جدول ۲- خصوصیت های مورد استفاده برای اعمال پوشش لایه میانی و بالایی

Parameter	NiCrAlY	YSZ	CSZ
Current (A)	۶۰۰	۶۵۰	۶۰۰
Voltage (V)	۶۰	۷۰	۶۰
Primary gas, Ar (l/min)	۵۵	۳۵	۵۵
Secondary gas, H ₂ (l/min)	۹/۵	۱۰	۱۱
Carrier gas, Ar (l/min)	۴/۲	۳/۵	۴/۲
Spray distance (mm)	۱۴۰	۱۲۰	۱۴۰
Powder feed rate (g/min)	۵۰	۲۰	۵۰
Wheel rotation speed (rpm)	۱۰۰	۱۰۰	۱۰۰
Traverse speed (rpm)	۱	۱	۱



۳- نتایج و بحث

۱-۳- بررسی ریزساختاری و فازی

شکل ۱ (الف و ب) ریزساختار لایه‌های پوشش TBC معمولی (YSZ و CSZ)^۳ را نشان می‌دهد که از لایه واسطه NiCrAlY و پوشش سرامیکی YSZ یا CSZ با ساختاری لایه‌ای و متخلخل تشکیل شده که از ویژگی‌های پوشش‌های پلاسمایی است. همانطور که در شکل ۱ (ب) دیده می‌شود پوشش سرامیکی CSZ با ساختاری لایه‌ای و متخلخل تشکیل شده ولی تخلخل‌های آن نسبت به پوشش YSZ کوچک‌تر و یکنواخت‌تر است. میزان تخلخل در پوشش‌های YSZ، NiCrAlY و CSZ به ترتیب برابر با ۳-۵ درصد، ۱۰-۱۳ درصد و ۸-۱۰ درصد توسط نرم افزار Image Analysis اندازه‌گیری شد.

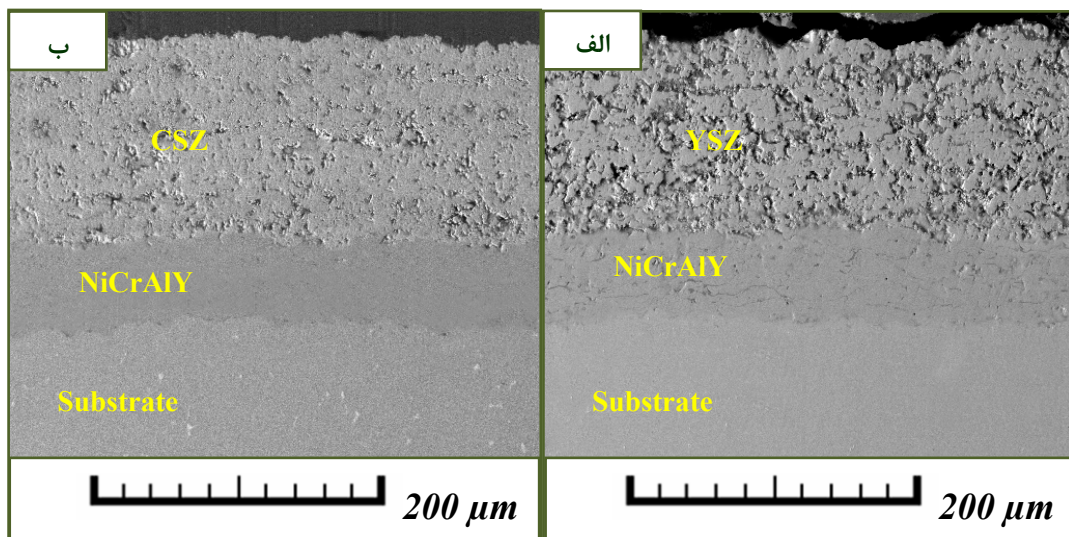
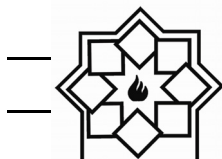
آنالیز فازی سطح خارجی پوشش‌های TBC (پس از اعمال پوشش بر روی نمونه‌های IN738LC توسط دستگاه پاشش پلاسمای اتمسفری) در شکل ۲ نمایش داده شده و بر این اساس پوشش YSZ فقط دارای فاز زیرکونیای تتراتagonal است. پوشش CSZ نیز دارای فاز زیرکونیای تتراتagonal و ترکیب CeO₂ با ساختار مکعبی است.

پس از تهیه پوشش‌های مجza، قبل از آزمایش انبساط حرارتی، نمونه‌ها تحت عملیات پایدارسازی و تنفس‌گیری قرار گرفتند، به این صورت که تمامی نمونه‌ها به مدت ۴ ساعت در داخل کوره تحت خلاء ۱۰-۶ mmHg تحت عملیات حرارتی قرار گرفتند. دستگاه مورد استفاده جهت بررسی انبساط حرارتی نمونه‌ها، دیلاتومتر BÄHR-Dilatometer DIL80X ساخت آلمان از نوع نسبی و از نوع افقی با دقیقیت $\pm 0.1 \times 10^{-6}$ K است [۹]. به منظور جلوگیری از اکسیداسیون نمونه‌ها و واکنش‌های دیگر، محیط نگهدارنده نمونه‌ها به میزان ۱۰-۶ mmHg تحت خلاء قرار گرفته و سپس بر اساس استاندارد ASTM E228 در نمونه درون دیلاتومتر با سرعت $10^{\circ}\text{C}/\text{min}$ از دمای محیط تا دمای 1100°C تحت حرارت قرار گرفت. سپس نمونه به مدت ۱۰ دقیقه در دمای مذکور نگهداری شده و با سرعت $5^{\circ}\text{C}/\text{min}$ در درون دستگاه سرد شد. تغییرات طولی هر نمونه نسبت به نمونه مرجع که از جنس کوارتز بود در سیکل گرم و سرد شدن اندازه‌گیری شده و منحنی ازدیاد طول و انبساط حرارتی بر حسب دما توسط دستگاه ترسیم شد. قبل از انجام هر آزمایش دستگاه توسط نمونه استاندارد کوارتز کالیبره شده و سپس مورد استفاده قرار گرفت. جهت انجام آزمایش از هر نوع پوشش سه نمونه آزمایش شد. برای تعیین مشخصه‌های ساختاری و فازی پوشش‌ها از میکروسکوپ الکترونی رویشی (SEM)^۱ و آنالیز پراش پرتو ایکس (XRD)^۲ استفاده شد.

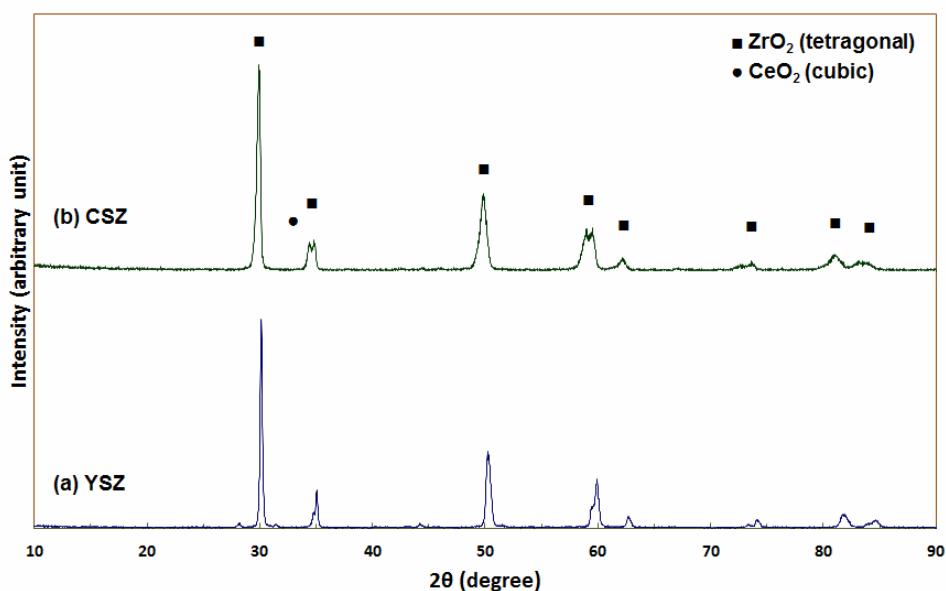
³ ZrO₂-8%Y₂O₃ and ZrO₂-25%CeO₂-2.5%Y₂O₃

¹ Scanning electron microscopy (SEM, Oxford CAMSCAN- MV2300, UK)

² X-ray diffraction (XRD, Philips X'pert) Cu K α , 40 KV, 30 mA, Step size: 0.02 °



شکل ۱- تصویر میکروسکوپی الکترونی روبشی از سطح مقطع (الف) و (ب) NiCrAlY/CSZ و NiCrAlY/YSZ



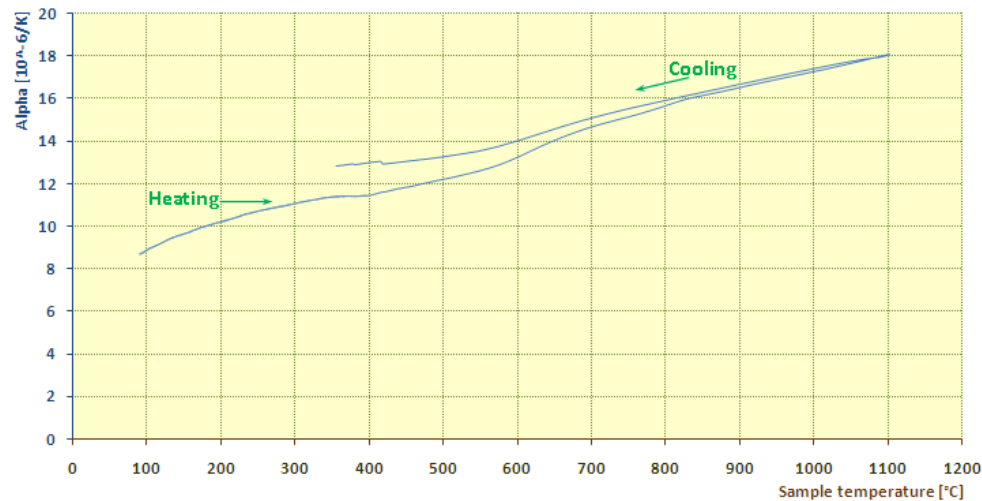
شکل ۲- آنالیز پراش پرتو ایکس از سطح YSZ و CSZ

شده مطابق با توضیحات بخش روش تحقیق) را بر حسب دما نشان می‌دهد.

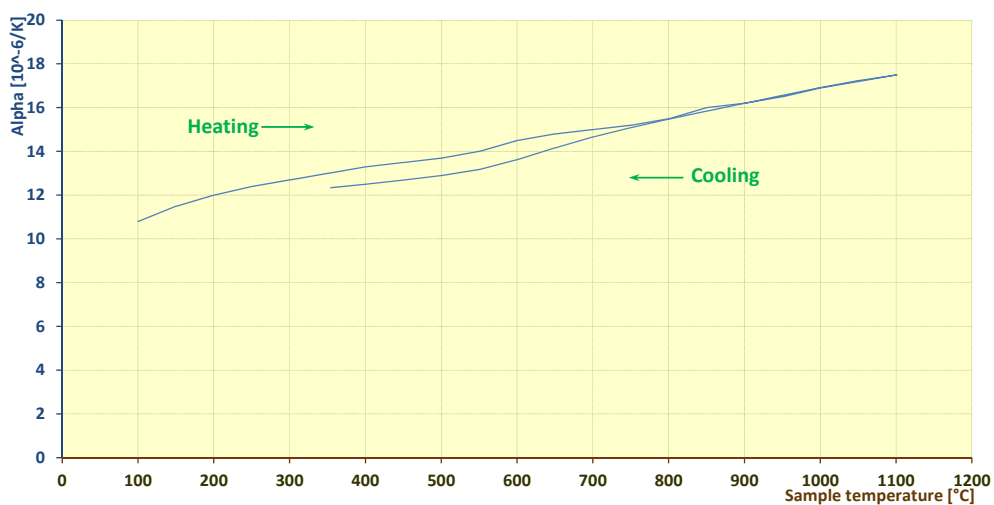
۲-۳- بررسی رفتار انبساط حرارتی

شکل‌های ۳ و ۴ منحنی ضریب انبساط حرارتی (CTE)^۱ اینکونل ۷۳۸ و نمونه پوششی لایه میانی NiCrAlY (آماده

^۱ Coefficient of thermal expansion



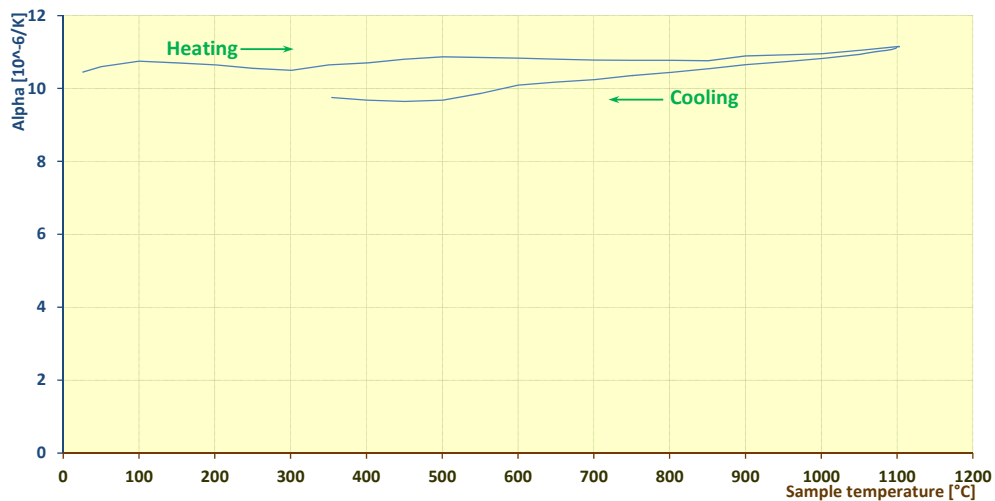
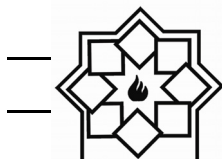
شکل ۳- منحنی تغییرات انبساط حرارتی نمونه IN-738 بر حسب دما.



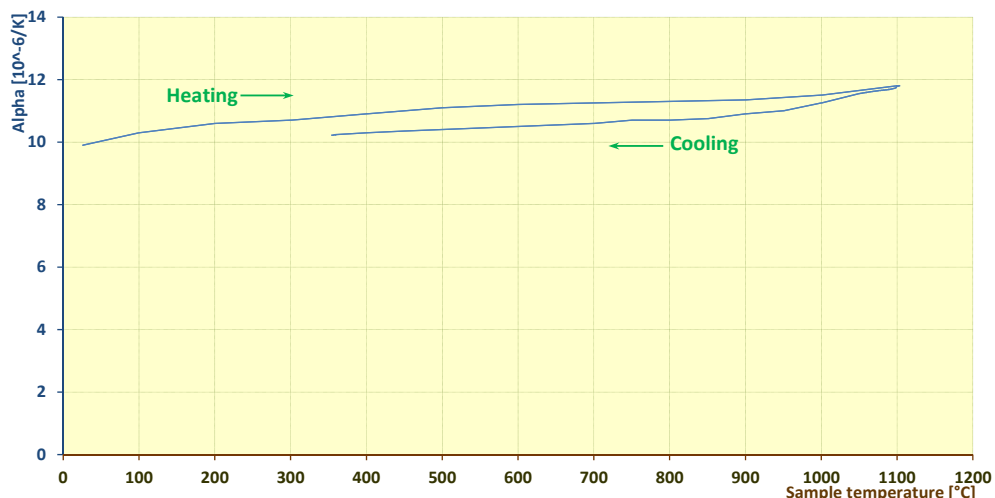
شکل ۴- منحنی تغییرات انبساط حرارتی NiCrAlY بر حسب دما.

بدون تغییر ناگهانی، نشان می‌دهد. این بیانگر آن است که احتمالاً تغییر فاز قابل توجهی در این پوشش با تغییرات دما ایجاد نمی‌شود. شکل‌های ۵ و ۶ منحنی ضریب انبساط حرارتی YSZ و CSZ را بر حسب دما نشان می‌دهد.

همان‌طور که در این شکل‌ها مشاهده می‌شود با افزایش دما طول نمونه افزایش می‌یابد. با توجه به شکل ۴ برای NiCrAlY به نظر می‌رسد که منحنی انبساط حرارتی این پوشش تقریباً رفتار خطی را در چرخه‌های گرم و سرد شدن



شکل ۵- منحنی تغییرات انبساط حرارتی YSZ بر حسب دما.



شکل ۶- منحنی تغییرات انبساط حرارتی CSZ بر حسب دما.

تغییرات حجمی بسیار کمی در پوشش ایجاد شده و در نتیجه تغییر عمدہ‌ای در رفتار انبساط حرارتی پوشش ایجاد نمی‌کند. ممکن است در دمای بالا و مدت زمان طولانی فاز تتراگونال نیمه پایدار به دو فاز تتراگونال و مکبی نیز تبدیل شود ولی در این صورت نیز تغییرات حجمی کم است. وجود تخلخل بالا (۱۳-۸ درصد) [۱۰ و ۱۱] در این پوشش‌ها به کاهش بیشتر انبساط حرارتی پوشش کمک می‌کند. مقدار

منحنی انبساط حرارتی این نمونه‌ها (پوشش‌های YSZ و CSZ) در طی چرخه‌های گرم و سرد شدن تقریباً رفتار خطی از خود نشان می‌دهند بنابراین تغییر فازی در این نمونه‌ها در طی سیکل‌های گرم و سرد شدن ایجاد نمی‌شود. همانطور که آنالیز فازی این نوع پوشش نشان داد، این پوشش‌ها شامل فاز زیرکونیای تتراگونال است که در دمای بالا نیز تغییری در نوع فاز تتراگونال ایجاد نمی‌شود، بنابراین



افزایش دما به صورت خطی افزایش می‌باید. همانطور که در شکل ۶ دیده می‌شود پوشش CSZ دارای ضریب انبساط بالاتری نسبت به پوشش YSZ بوده که با توجه به تحقیقات انجام شده [۵-۷]، می‌توان گفت که CeO₂ دارای ضریب انبساط حرارتی بالاتری نسبت به YSZ است. همچنین نتایج گنگ^۳ و همکارانش [۱۳]، نشان دادند که هدایت یونی پوشش‌های CSZ نسبت به پوشش‌های YSZ کمتر بوده که باعث یکنواختی بیشتر افزایش انبساط حرارتی با افزایش دما در حین گرم شدن پوشش شده است.

سریا هدایت حرارتی کمتر و ضریب انبساط حرارتی بیشتری نسبت به زیرکونیا دارا می‌باشد [۵]. زیرکونیای پایدارشده با سریا چقرومگی شکست بالایی دارد. دمای ذوب اکسید سریم در حدود ۳۲۰۰°C و دمای ذوب ZrO₂ در حدود ۲۷۰۰°C می‌باشد. سریم سنگین‌تر از زیرکونیم بوده و شعاع یونی سریم از شعاع یونی زیرکونیوم بیشتر می‌باشد. با توجه به CeO₂ نتایج محققین هدایت حرارتی با افزایش مقدار YSZ کاهش می‌باید [۱۴]. بنابراین CSZ در مقایسه با هدایت حرارتی پایین‌تر و ضریب انبساط حرارتی بالاتری را دارا می‌باشد. در سرامیک‌ها هدایت حرارتی عموماً به وسیله ارتعاش شبکه از طریق ممانعت از انتقال فونون‌ها کنترل می‌شود. بنابراین زمانی که ماده از عناصری با وزن اتمی یا شعاع اتمی بیشتر تشکیل شده باشد، هدایت حرارتی کمتری دارد. زمانی که ماده از محلول جامد با عناصر با عدد اتمی متفاوت و شعاع یونی متفاوت تشکیل شده باشد، هر چه اختلاف بین وزن اتمی مواد بیشتر باشد، هدایت حرارتی با

تغییر طول این نمونه‌ها در مقایسه با نمونه قبلی همچنان که انتظار می‌رود به دلیل ماهیت سرامیکی پوشش و همچنین وجود معایبی از جمله تخلخل بالا، کمترین مقدار است. با توجه به شکل ۵ دیده می‌شود که برای پوشش YSZ میکرونی تا دمای حدود ۳۰۰°C ضریب انبساط حرارتی کمی کاهش داشته سپس به حالت معمولی بر می‌گردد که بدلیل وجود جاهای خالی است. در مورد پوشش CSZ می‌توان گفت وجود CeO₂ باعث افزایش ضریب انبساط حرارتی پوشش شده است. همانطور که دیده می‌شود پوشش CSZ میکرونی در موقع گرم و سرد شدن تغییرات کمتری نسبت به پوشش YSZ میکرونی دارد. همان‌طور که از شکل‌های ۳ تا ۶ پیداست ضریب انبساط حرارتی برای اینکونل ۷۳۸، پوشش واسطه (NiCrAlY)، پوشش سرامیکی YSZ و CSZ به ترتیب در محدوده

$$10/8-17/5 \times 10^{-6} \text{ K}^{-1}$$

$$9/9-11/8 \times 10^{-6} \text{ K}^{-1}$$

$$10/45-11/15 \times 10^{-6} \text{ K}^{-1}$$

است. با توجه به شکل‌های ۵ و ۶ ضریب انبساط حرارتی پوشش‌های YSZ و CSZ از دمای محیط تا دمای ۳۰۰°C در ابتدا افزایش و سپس کاهش پیدا می‌کند که این موضوع در پوشش YSZ واضح‌تر است. با توجه به نتایج چن و همکارانش [۱۲]، در مورد ضریب انبساط حرارتی پوشش زیرکونیا، می‌توان این رفتار را به پدیده کاهش اکسیژن^۱ در پوشش‌های سرامیکی پلاسمای اسپری نسبت داد. علاوه بر آن وقتی که پوشش زیرکونیا در اتمسفر معمولی گرم می‌شود، اتم‌های اکسیژن به جاهای خالی^۲ پوشش اضافه می‌شوند [۱۲]. البته در دماهای بالاتر انبساط حرارتی با

¹ Oxygen loss phenomenon

² Vacancies

³ Gong



- ceramic thermal barrier coatings," Journal of Studi & ricerche, Research papers, pp.69-76, (2013).
- [2] S. Ahmanniemi, P. Vuoristo, T. Mantyla, F. Cernuschi, L. Lorenzoni, "Modified thick thermal barrier coatings: thermophysical characterization", Journal of European Ceramic Society, Vol. 24, pp. 2669–2679, (2004).
- [3] S. V. Joshi, M. P. Srivastava, "On the thermal cycling life of plasma-sprayed yttria-stabilized zirconia coatings", Journal of Surface & Coatings Technology, Vol. 56, pp.215-224, (1993).
- [4] V. Kumar, K. Balasubramanian, Progress update on failure mechanisms of advanced thermal barrier coatings: a review, Journal of Progress in Organic Coatings, Vol. 90, pp. 54-82, (2016).
- [5] X. Q. Cao, R. Vassen, D. Stoever, "Ceramic materials for thermal barrier coatings", Journal of European Ceramic Society, Vol. 24, pp.1-10, (2004).
- [6] J. Zhang, J. Yu, X. Cheng, S. Hou, "Thermal expansion and solubility limits of cerium-doped lanthanum zirconates", Journal of Alloys and Compounds, Vol. 525, pp.78-81, (2012).
- [7] H. Zhang, S. Liao, X. Dang, S. Guan, Z. Zhang, "Preparation and thermal conductivities of $\text{Gd}_2\text{Ce}_2\text{O}_7$ and $(\text{Gd}_{0.9}\text{Ca}_{0.1})_2\text{Ce}_2\text{O}_{6.9}$ ceramics for thermal barrier coatings", Journal of Alloys and Compounds, Vol. 509, pp.1226-1230, (2011).
- [8] C. H. Lee, H. K. Kim, H. S. Choi, H. S. Ahn, "Phase transformation and bond coat oxidation behavior plasma-sprayed zirconia thermal barrier coating", Journal of Surface & Coatings Technology, Vol. 124, pp.1–12, (2000).
- [9] ASTM E228-71, "Linear Thermal Expansion of Rigid Solids with a Vitreous Silica Dilatometer", American Society for Testing and Materials, (1998).
- [10] A. Keyvani, M. Bahamirian, "Oxidation

کمتر خواهد شد. هدایت حرارتی پوشش $\text{ZrO}_2\text{-CeO}_2$ با افزایش مقدار CeO_2 کاهش و ضریب انبساط حرارتی افزایش می‌یابد. کاهش ضریب هدایت حرارتی ترکیبات حاوی اکسید سریم می‌تواند بدلیل اندازه بزرگ Ce^{4+} و پیوند ضعیف Ce^{4+} و O^{2-} باشد [۱۴-۱۶]. نتایج نشان می‌دهد که افزایش CeO_2 به صورت کاربردی می‌تواند بعضی خواص TBC را پیشرفت دهد.

۴- نتیجه‌گیری

- پوشش CSZ دارای ساختاری لایه‌ای و متخلخل، ولی تخلخل‌های آن نسبت به پوشش YSZ کوچک‌تر و یکنواخت‌تر است.

- میزان تخلخل برای پوشش‌های YSZ و CSZ به ترتیب برابر با $3-5$ درصد، $10-13$ درصد و $8-10$ درصد اندازه‌گیری شد.

- پوشش‌های YSZ، NiCrAlY و CSZ در طی چرخه‌های گرم و سرد شدن تقریباً رفتار خطی از خود نشان می‌دهند بنابراین تغییر فازی در این نمونه‌ها در طی این چرخه‌ها ایجاد نمی‌شود.

- ضریب انبساط حرارتی برای اینکونول ۷۳۸، پوشش واسطه (NiCrAlY)، پوشش سرامیکی YSZ و CSZ به ترتیب در محدوده $8/5-18 \times 10^{-6} \text{ K}^{-1}$ ، $10/45-11/15 \times 10^{-6} \text{ K}^{-1}$ ، $10/8-17/5 \times 10^{-6} \text{ K}^{-1}$ و $9/9-11/8 \times 10^{-6} \text{ K}^{-1}$ است.

مراجع

- [1] G. Di Girolamo, C. Blasi, A. Brentari, and M. Schioppa, "Microstructure and thermal properties of plasma-sprayed



resistance of Al_2O_3 nanostructured/CSZ composite compared to conventional CSZ and YSZ thermal barrier coatings, Materials Research Express, Vol. 3, pp. 1-12", (2016).

- [11] A. Keyvani, M. Saremi, M. Heydarzadeh Sohi, Z. Valefi, "A comparison on thermomechanical properties of plasma-sprayed conventional and nanostructured YSZ TBC coatings in thermal cycling", Journal of Alloys and Compounds, Vol. 541, pp. 488-494, (2012).
- [12] H. Chen, X. Zhou, C. Ding, "Investigation of the thermomechanical properties of a plasma-sprayed nanostructured zirconia coating", Journal of European Ceramic Society, Vol. 23, pp.1449-1455, (2003).
- [13] W. B. Gong, C. K. Sha, "Microstructures and thermal insulation capability of plasma-sprayed nanostructured ceria stabilized zirconia coatings", Journal of Surface & Coatings Technology, Vol. 201, pp.3109-3115, (2006).
- [14] S. Sodeoka, M. Suzuki, K. Ueno, H. Sakuramoto, T. Shibata, M. Ando, "Thermal and mechanical properties of $\text{ZrO}_2\text{-CeO}_2$ plasma-sprayed coatings", Journal of Thermal Spray Technology, Vol. 6(3), pp.361-367, (1997).
- [15] K. Ueno, S. Sodeoka, M. Tsutsumi, "Thermal and mechanical properties of $\text{CeO}_2\text{-}4\text{mol\%Y}_2\text{O}_3$ partially stabilized ZrO_2 ceramics", Journal of Thermal Spray Society, Vol. 32, pp.221-226, (1995).
- [16] L. Jin, Q. Yu, L. Ni, C. Zhou, "Microstructure and thermal properties of nanostructured 8 wt.% CeO_2 doped YSZ coatings prepared by atmospheric plasma spraying", Journal of Thermal Spray Technology, Vol. 21(5), pp.928-934, (2012).